

Так как для $v'_2 = 0$ решение редуцируется к плоской деформации, то необходимо считать $v'_2 \neq 0$. Тогда из последних уравнений находятся выражения для S_{12} , S_{21} , S_{23} . Подставляя их в условие Мизеса, получаем квадратичное уравнение на S_{13} , из которого следует $|S_1(h+1)h^{-1/2}/(2k)| \leqslant 1$ ($h \equiv (v'_2)^2 + (v'_3)^2$). Вводится угол θ такой, что $\sin \theta = S_1(h+1)h^{-1/2}/(2k)$.

Если $S_1 = S_1(v_1)$ (или $\theta = \theta(v_1)$), то $\sigma = \sigma(v_1)$ и решение редуцируется к простой волне. Поэтому в качестве параметров двойной волны выбираются S_1 и v_1 . Подставив $\sigma = \sigma(S_1, v_1)$ в (1) с учетом первых двух независимых уравнений (46), запишем

$$(47) \quad b_{i\alpha} \partial S_1 / \partial x_\alpha + b_{i4} w_1 = 0 \quad (i = 1, 2, 3),$$

вид коэффициентов b_{ij} ($i = 1, 2, 3, j = 1, 2, 3, 4$) довольно громоздок и здесь не приводится. Все последующие выкладки также проделывались на ЭВМ, и здесь даются только ход рассуждений и окончательные результаты.

Для того чтобы не было редукции двойной волны к инвариантному решению в (47), независимых уравнений должно быть не больше двух. Значит, ранг матрицы $B = (b_{ij})$ не больше двух. Если обозначить через B_j квадратную матрицу, составленную из матрицы B без j -го столбца, то $\det(B_j) = 0$ ($j = 1, 2, 3, 4$), приравнивая нулю $\det(B_4)$,

$$\partial \sigma / \partial S_1 ((\partial \sigma / \partial S_1)^2 - (h+1)^2 / (4h \cos^2 \theta)) = 0.$$

Откуда следует: либо $\sigma = \sigma(v_1)$, либо $\sigma = \pm S_1(h+1)h^{-1/2}/(2 \cos \theta) + \varphi(v_1)$. Подставив выражения для σ в $\det(B_3) = 0$, в обоих случаях получим полином относительно $\tan \theta$ с коэффициентами, зависящими от v_1 . Так как θ и v_1 считаются функционально независимыми, то эти коэффициенты должны обращаться в нуль. Но среди соотношений имеются противоречивые равенства, например $h+1=0$. Таким образом, в данном случае, когда $v_i = v_i(v_1)$ ($i = 2, 3$), двойных волн, нередуцируемых к инвариантным решениям или к простым волнам, нет.

ЛИТЕРАТУРА

1. Овсянников Л. В. Групповой анализ дифференциальных уравнений.— М.: Наука, 1978.
2. Peradzynski Z. Hyperbolic flows in ideal plasticity // Arch. Mech.— 1975.— V. 27, N 1.
3. Галин Л. А. Упругопластические задачи.— М.: Наука, 1984.
4. Мелешко С. В. Двойные волны в идеальном жесткопластическом теле при плоской деформации // ПМТФ.— 1990.— № 2.
5. Ганжа В. Г., Мелешко С. В., Шапеев В. П. Промежуточные выкладки в аналитических исследованиях дифференциальных уравнений на ЭВМ // Моделирование в механике/АН СССР, Сиб. отд-ние, ИТПМ.— 1989.— Т. 3, № 4.

г. Новосибирск

Поступила 14/VIII 1989 г.

УДК 539.412

Л. Г. Смирнов, И. И. Федик

ТЕРМОУПРУГИЕ НАПРЯЖЕНИЯ В ПЛОСКОСТИ С КРУГОВЫМ ВКЛЮЧЕНИЕМ ПРИ НАЛИЧИИ ТЕПЛОВОГО ПЯТНА ЭЛЛИПТИЧЕСКОЙ ФОРМЫ

Задача об определении термоаппрожженного состояния тела при нагреве по пятну, занимающему некоторую область, сводится к задаче об определении упругих напряжений при заданных разрывах перемещений на границе пятна [1]. Последняя эквивалентна задаче об определении упругих напряжений, вызванных наличием включения, предварительно подвергнутого собственной деформации и имеющего упругие характеристики, что и окружающая среда, а затем вставленного в отверстие, занимае-

мое областью пятна [2]. В плоском случае использование метода Мусхелишвили позволяет свести эту задачу к стандартной краевой задаче теории упругости для всей области, занимаемой телом, с измененными внешними усилиями [2]. Когда же пятно имеет круговую форму, решение может быть найдено в замкнутом виде [3–5]. Решение задачи об определении напряжений в полуплоскости при эллиптической форме пятна и постоянной величине подогрева ΔT также записывается в замкнутом виде [6]. Данная работа посвящена получению такого решения для плоскости с круговым инородным включением при эллиптической форме пятна и $\Delta T = \text{const}$.

Пусть упругая плоскость с круговым инородным включением нагревается по некоторой области D , ограниченной контуром L , от начальной температуры T_0 , при которой напряженное состояние отсутствует, до температуры T_1 . Предполагается, что контур L не пересекается с окружностью L_0 , ограничивающей инородное включение, и может представлять собой систему непересекающихся замкнутых контуров L_j ($j = 1, 2, \dots, n$). Не теряя общности, будем считать, что контур L состоит из двух контуров L_1 и L_2 , ограничивающих области D_1^+ и D_2^+ , которые целиком лежат внутри и вне окружности L_0 соответственно. Область, лежащую между контурами L_0 и L_1 , обозначим через D_1^- , область между L_0 и L_2 — через D_2^- . Известно [2], что возникающее напряженное состояние эквивалентно тому, которое возникает от предварительно подвергнутых собственной деформации включений, занимающих области D_j^+ , из того же материала, что и внешняя к ним среда, а затем вставленных в отверстие с контурами L_j ($j = 1, 2, \dots, n$).

Предположим, что центр кругового инородного включения радиусом R_0 совпадает с началом координат плоскости x, y ; μ_j , v_j , ω_j — модуль сдвига, коэффициент Пуассона и коэффициенты теплового расширения материалов инородного включения ($j = 1$) и внешней к нему среды ($j = 2$). Для нахождения напряженного состояния воспользуемся методом Мусхелишвили. Считая, что на общей границе включений со средой имеет место идеальный контакт, условия равенства нормальных и касательных напряжений, а также наличие скачка перемещений на линиях раздела сред, вызванных собственной деформацией, записываются в форме

$$(1) \quad \varphi_0^-(t) + t\overline{\varphi_0'(t)} + \overline{\psi_0^-(t)} = \varphi^-(t) + t\overline{\varphi'-(t)} + \overline{\psi^-(t)} + C_1,$$

$$(\kappa_1\varphi_0^-(t) - t\overline{\varphi_0'(t)} - \overline{\psi_0^-(t)})/\mu_1 = (\kappa_2\varphi^-(t) - t\overline{\varphi'-(t)} - \overline{\psi^-(t)})/\mu_2 \quad (t \in L_0);$$

$$(2) \quad \varphi_0^+(t) + t\overline{\varphi_0'(t)} + \overline{\psi_0^+(t)} = \varphi_0^-(t) + t\overline{\varphi_0'-(t)} + \overline{\psi_0^-(t)} + C_2,$$

$$\kappa_1\varphi_0^+(t) - t\overline{\varphi_0'(t)} - \overline{\psi_0^+(t)} = \kappa_2\varphi_0^-(t) - t\overline{\varphi_0'-(t)} - \overline{\psi_0^-(t)} + 2\mu_1 g_1(t) \quad (t \in L_1);$$

$$(3) \quad \varphi^+(t) + t\overline{\varphi'-(t)} + \overline{\psi^+(t)} = \varphi^-(t) + t\overline{\varphi'-(t)} + \overline{\psi^-(t)} + C_3,$$

$$\kappa_1\varphi^+(t) - t\overline{\varphi'-(t)} - \overline{\psi^+(t)} = \kappa_2\varphi^-(t) - t\overline{\varphi'-(t)} - \overline{\psi^-(t)} + 2\mu_2 g_2(t) \quad (t \in L_2).$$

Здесь $\varphi_0^+(t)$, $\psi_0^+(t)$ — граничные значения функций, голоморфных в области D_1^+ ; $\varphi_0^-(t)$, $\psi_0^-(t)$ — граничные значения функций, голоморфных в области D_1^- ; $\varphi^+(t)$, $\psi^+(t)$ — в области D_2^+ ; $\varphi^-(t)$, $\psi^-(t)$ — в области D_2^- ($t = x + iy$); $\kappa_j = (3 - v_j)/(1 + v_j)$ и $\kappa_j = 3 - 4v_j$ — в случаях плоско-напряженного и плоскодеформированного состояния; $g_j(t) = u_j + iv_j$ — скачки перемещений на линиях L_j ($j = 1, 2$). Легко видеть, что постоянные C_j ($j = 1, 2, 3$) можно включить в состав искомых функций, а потому будем полагать $C_j = 0$ ($j = 1, 2, 3$) [2].

Используя условия (2), (3), как показано в [2], функции $\varphi_0(z)$, $\psi_0(z)$ и $\varphi(z)$, $\psi(z)$, равные $\varphi_0^\pm(z)$, $\psi_0^\pm(z)$ при $z \in D_1^\pm$ и $\varphi^\pm(z)$, $\psi^\pm(z)$ при $z \in D_2^\pm$, можно представить как

$$(4) \quad \begin{aligned} \varphi_0(z) &= \varphi_1(z) + \varphi_{1*}(z), & \psi_0(z) &= \psi_1(z) + \psi_{1*}(z); \\ \varphi(z) &= \varphi_2(z) + \varphi_{2*}(z), & \psi(z) &= \psi_2(z) + \psi_{2*}(z), \end{aligned}$$

где функции $\varphi_1(z)$, $\psi_1(z)$ и $\varphi_2(z)$, $\psi_2(z)$ голоморфны соответственно внутри и вне L_0 , и имеет место представление

$$(5) \quad \begin{aligned} \varphi_{j*}(z) &= \frac{\mu_j}{\pi i (1 + \kappa_j)} \int_{L_j} \frac{g_j(t) dt}{t - z}, \\ \psi_{j*}(z) &= \frac{\mu_j}{\pi i (1 + \kappa_j)} \int_{L_j} \frac{h_j(t) dt}{t - z}, \end{aligned}$$

где

$$(6) \quad h_j(t) = -\overline{g_j(t)} - \bar{t}g'_j(t) \quad (j = 1, 2).$$

Подставляя выражения (4) в условия (1), получим

$$(7) \quad \varphi_1(t) + t\overline{\varphi_1(t)} + \overline{\psi_1(t)} = \varphi_2(t) + t\overline{\varphi_2(t)} + \overline{\psi_2(t)} + f_1(t);$$

$$(8) \quad \kappa_1\varphi_1(t) - t\overline{\varphi_1(t)} - \overline{\psi_1(t)} = \gamma(\kappa_2\varphi_2(t) - t\overline{\varphi_2(t)} - \overline{\psi_2(t)}) + f_2(t),$$

где

$$(9) \quad \begin{aligned} \gamma &= \mu_1/\mu_2, \quad f_1(t) = p_2(t) - p_1(t), \quad f_2(t) = \gamma q_2(t) - q_1(t), \\ p_j(t) &= \varphi_{j*}(t) + t\overline{\varphi'_{j*}(t)} + \overline{\psi_{j*}(t)}, \quad q_j(t) = \kappa_j\varphi_{j*}(t) - t\overline{\varphi'_{j*}(t)} - \overline{\psi_{j*}(t)} \\ (j &= 1, 2). \end{aligned}$$

Таким образом, задача сводится к нахождению голоморфных функций $\varphi_j(z)$, $\psi_j(z)$ ($j = 1, 2$) внутри ($j = 1$) и вне ($j = 2$) окружности L_0 ($|t| = R_0$) по условиям сопряжения (7), (8). Учитывая, что при $t \in L_0$ имеет место равенство $\bar{t} = R_0^2/t$, легко видеть, что функции $\overline{\varphi_1(t)}$, $\overline{\psi_1(t)}$ и $\overline{\varphi_2(t)}$, $\overline{\psi_2(t)}$ — это граничные значения функций, голоморфных соответственно внутри и вне контура L_0 . Действительно, поскольку $\varphi_1(z)$, $\psi_1(z)$ голоморфны внутри L_0 , а $\varphi_2(z)$, $\psi_2(z)$ — вне L_0 , то $\varphi_j(z)$ и $\psi_j(z)$ ($j = 1, 2$) представляются в виде

$$(10) \quad \varphi_1(z) = \sum_0^\infty a_n z^n, \quad \psi_1(z) = \sum_0^\infty b_n z^n, \quad \varphi_2(z) = \sum_0^\infty c_n z^{-n}, \quad \psi_2(z) = \sum_0^\infty d_n z^{-n},$$

а значит,

$$\begin{aligned} \overline{\varphi'_1(t)} &= \sum_0^\infty n \overline{a_n t^{n-1}} = \sum_0^\infty n \bar{a}_n R_0^{2n-2} t^{-n+1}, \quad \overline{\psi'_1(t)} = \sum_0^\infty \bar{b}_n R_0^{2n} t^{-n}, \\ \overline{\varphi'_2(t)} &= -\sum_0^\infty n \overline{c_n t^{-n-1}} = -\sum_0^\infty n \bar{c}_n R_0^{-2n-2} t^{n+1}, \quad \overline{\psi'_2(t)} = \sum_0^\infty \bar{d}_n R_0^{-2n} t^n. \end{aligned}$$

Отсюда следует, что $\overline{\varphi'_1(t)}$, $\overline{\psi'_1(t)}$ и $\overline{\varphi'_2(t)}$, $\overline{\psi'_2(t)}$ — граничные значения функций $\overline{\varphi_1(R_0^2/z)}$, $\overline{\psi_1(R_0^2/z)}$ и $\overline{\varphi_2(R_0^2/z)}$, $\overline{\psi_2(R_0^2/z)}$, голоморфных вне и внутри L_0 ($\bar{F}(z) = F(\bar{z})$), дифференцирование происходит по переменной $\xi = R_0^2/z$). Умножая обе части равенств (7), (8) на коэффициент $1/(2\pi i(t - z))$ и интегрируя вдоль L_0 , с учетом вынесенного из (9), (10) получим для z , лежащих внутри круга,

$$(11) \quad \varphi_1(z) + \bar{a}_1 z + 2\bar{a}_2 = c_0 + z\overline{\varphi'_2(R_0^2/z)} + \overline{\psi_2(R_0^2/z)} + f_1^+(z);$$

$$(12) \quad \kappa_1\varphi_1(z) - \bar{a}_1 z - 2\bar{a}_2 = \gamma(\kappa_2 c_0 - z\overline{\varphi'_2(R_0^2/z)} - \overline{\psi_2(R_0^2/z)}) + f_2^+(z),$$

где

$$(13) \quad f_j^+(z) = \frac{1}{2\pi i} \int_{L_j} \frac{f_j(t) dt}{t - z}.$$

Из (11), (12) имеем

$$(14) \quad \varphi_1(z) = [(f_2^+(z) + \gamma f_1^+(z)) + \gamma(1 + \kappa_2)c_0 + (1 - \gamma) \times \\ \times (\bar{a}_1 z + 2\bar{a}_2)]/(\kappa_1 + \gamma).$$

Аналогичным образом при z , лежащих вне круга, запишем

$$(15) \quad z\bar{\varphi}'_1(R_0^2/z) + \bar{\psi}_1(R_0^2/z) = \varphi_2(z) - c_0 + f_1^-(z);$$

$$(16) \quad -z\bar{\varphi}'_1(R_0^2/z) - \bar{\psi}_1(R_0^2/z) = \gamma(\kappa_2\varphi_2(z) - \kappa_2c_0) + f_2^-(z).$$

Тогда

$$(17) \quad \varphi_2(z) = -(f_1^-(z) + f_2^-(z) - (1 + \kappa_2)c_0)/(1 + \gamma\kappa_2)$$

(под $f_j^-(z)$ понимается интеграл в правой части (13) при z , лежащих вне круга);

$$(18) \quad \psi_1(z) = -R_0^2(\varphi'_1(z) - a_1)/z + \bar{\varphi}_2(R_0^2/z) - \bar{a}_0 + \bar{f}_1^+(R_0^2/z);$$

$$(19) \quad \psi_2(z) = -R_0^2(\varphi'_2(z) - a_1)/z + \bar{\varphi}_1(R_0^2/z) - \bar{a}_0 - \bar{f}_1^-(R_0^2/z).$$

В формулах (14)–(17) постоянную c_0 можно положить равной нулю, поскольку задача с условиями (7), (8) сохраняет произвол в определении $\varphi_2(z)$ (либо $\psi_2(z)$) с точностью до аддитивной постоянной. Дифференцируя дважды обе части равенства (14) и затем полагая $z = 0$, находим

$$a_0 = F''(0)/(2(\kappa_1 + \gamma)) \quad (F(z) = f_2^+(z) + \gamma f_1^+(z)).$$

При однократном дифференцировании обеих частей уравнения (14) при $z = 0$ получим уравнение для нахождения a_1 :

$$(20) \quad a_1 = (F'(0) + (1 - \gamma)(\kappa_1 + \gamma)^{-1}\overline{F'(0)})/(1 + (\gamma - 1)^2(\kappa_1 + \gamma)^{-2}).$$

При $z = 0$ из (14) имеем $a_2 = a_0(\kappa_1 + \gamma) - F(0)/(2(1 - \gamma))$.

Рассмотрим теперь частный случай, когда контур L_j — эллипс с полуосами a_j^0, b_j^0 и углом θ_j между направлениями полуоси a_j^0 и осью x , а $T_1^{(j)} - T_0^{(j)} = \Delta T^{(j)} = \text{const}$. Легко видеть, что

$$(21) \quad g_j(t) = -\varepsilon_j(t - z_j), \quad h(t) = -\varepsilon_j(z_j^{-} \bar{t}), \quad \varepsilon_j = \alpha_j k_j \Delta T^{(j)},$$

где z_j — центр эллипса с контуром L_j ; $k_j = 1$ и $k_j = \frac{1 + \nu_j}{1 - \nu_j}$ в случаях плосконапряженного и плоскодеформированного состояний соответственно. Из (5) с учетом (6) и (21) находим выражения для $\varphi_{1*}(z)$ и $\psi_{1*}(z)$, необходимые для вычисления напряжений:

$$(22) \quad \varphi_{j*}(z) = \frac{\mu_j}{\pi i(1 + \kappa_j)} \int_{L_0} \frac{g_j(t) dt}{t - z} = \begin{cases} -\beta_j(z - z_j) & (z \in D_j^+), \\ 0 & (z \in D_j^-); \end{cases}$$

$$(23) \quad \psi_{j*}(z) = \frac{\mu_j}{\pi i(1 + \kappa_j)} \int_{L_0} \frac{h_j(t) dt}{t - z} = \begin{cases} -\beta_j \bar{z} + 2\beta_j I(z) & (z \in D_j^+), \\ 2\beta_j I(z) & (z \in D_j^-) \end{cases}$$

$$\left(\beta_j = 2\varepsilon_j \mu_j / (1 + \kappa_j), \quad I(z) = \frac{1}{2\pi i} \int_{L_0} \frac{\bar{t} dt}{t - z} \right).$$

Для вычисления $I(z)$ используем функцию конформного отображения внешности эллипса L_j на внешность единичного круга γ_0 в плоскости ζ , которая имеет вид

$$z = \omega_j(\zeta) = R_j(\zeta + m_j \zeta^{-1}) e^{i\theta_j} + z_j \quad \left(R_j = (a_j^0 + b_j^0)/2, \quad m = \frac{a_j^0 - b_j^0}{a_j^0 + b_j^0} \right).$$

Тогда, учитывая равенство $\bar{\sigma} = 1/\sigma$ при $\sigma \in \gamma_0$,

$$(24) \quad I(z) = \frac{1}{2\pi i} \int_{L_0} \frac{\bar{t} dt}{t - z} = \frac{e^{-2i\theta_j}}{2\pi i} \int_{\gamma_0} \frac{(m_j \bar{\sigma}^2 - \bar{z}_j e^{i\theta_j} \sigma / R_j + 1)(1 - m_j \sigma^{-2})}{(\sigma^2 - (z - z_j) e^{-i\theta_j} \sigma / R_j + m_j)} d\sigma.$$

Поскольку уравнение $\sigma^2 - (z - z_j) e^{-i\theta_j} \sigma / R_j + m_j = 0$ является записью конформного отображения плоскости z с эллиптическим отверстием как на внешность, так и на внутренность круга $|\zeta| = 1$, то корни его σ_1 и σ_2 лежат внутри и вне круга $|\zeta| = 1$. Используя теорию вычетов, из (24) получим

(25)

$$I(z) = \begin{cases} e^{-2i\theta_j} (m_j - m_j^{-1}) (z - z_j - \sqrt{(z - z_j)^2 - 4m_j R_j^2 e^{2i\theta_j}}) / 2 & (z \in D_j^-), \\ e^{-2i\theta_j} m_j (z - z_j) & (z \in D_j^+) \end{cases}$$

(выбирается ветвь, удовлетворяющая условию $\lim_{|z| \rightarrow \infty} I(z) = 0$). Учитывая (22), (23), из (9) находим

$$(26) \quad f_1(t) = \psi_{2*}(t) - \psi_{1*}(t), \quad f_2(t) = \psi_{1*}(t) - \gamma \psi_{2*}(t).$$

Так как $\psi_{1*}(z)$ и $\psi_{2*}(z)$ голоморфны соответственно в областях $D_2^+ + D_2^-$ и $D_1^+ + D_1^-$, функции $\psi_{1*}(t)$ и $\psi_{2*}(t)$ — граничные значения функций $\bar{\psi}_{1*}(R_0^2/z)$ и $\bar{\psi}_{2*}(R_0^2/z)$, голоморфных в областях $D_1^+ + D_1^-$ и $D_2^+ + D_2^-$. Используя (13) и (26), имеем

$$(27) \quad \begin{aligned} f_1^-(z) &= -\bar{\psi}_{2*}(R_0^2/z), & f_2^-(z) &= \gamma \bar{\psi}_{2*}(R_0^2/z) \quad (|z| > R_0), \\ f_1^+(z) &= -\bar{\psi}_{1*}(R_0^2/z), & f_2^+(z) &= \bar{\psi}_{1*}(R_0^2/z) \quad (|z| < R_0). \end{aligned}$$

Продифференцировав равенства (14), (17) и (18), (19), с учетом (27) получим

$$(28) \quad \begin{aligned} \varphi_1'(z) &= (1 - \gamma)/(\kappa_1 + \gamma)(\bar{\psi}_{1*}'(R_0^2/z) + \bar{a}_1), \\ \varphi_1''(z) &= (1 - \gamma)/(\kappa_1 + \gamma)\bar{\psi}_{1*}''(R_0^2/z), \\ \psi_1'(z) &= R_0^2 \varphi_1'(z)/z^2 - R_0^2 \varphi_1''(z)/z + \bar{\varphi}_2'(R_0^2/z) - R_0^2 a_1/z^2 + \psi_{2*}'(z); \end{aligned}$$

$$(29) \quad \begin{aligned} \varphi_2'(z) &= (1 - \gamma)/(1 + \gamma \kappa_2)\bar{\psi}_{2*}'(R_0^2/z), & \varphi_2''(z) &= (1 - \gamma)/(1 + \gamma \kappa_2)\bar{\psi}_{2*}''(R_0^2/z), \\ \psi_2'(z) &= R_0^2 \varphi_2'(z)/z^2 - R_0^2 \varphi_2''(z)/z + \bar{\varphi}_1'(R_0^2/z) - R_0^2 a_1/z^2 + \psi_{1*}'(z). \end{aligned}$$

Производные $\bar{\psi}_{j*}'(R_0^2/z)$ и $\bar{\psi}_{j*}''(R_0^2/z)$ в (28), (29) находятся по формулам

$$(30) \quad \begin{aligned} \bar{\psi}_{j*}'(R_0^2/z) &= \overline{d\psi_{j*}(R_0^2/z)/dz} = (\overline{d\psi_{j*}(R_0^2/z)/d\bar{z}})(d\bar{z}/dz) = \\ &= \psi_{j*}(R_0^2/\bar{z})'(-R_0^2/\bar{z}^2)(d\bar{z}/dz)(d\bar{z}/dz) = -R_0^2 \overline{\psi_{j*}(R_0^2/\bar{z})'_\eta/z^2}, \\ \bar{\psi}_{j*}''(R_0^2/z) &= 2R_0^2 \overline{\psi_{j*}'(R_0^2/\bar{z})'_\eta/z^3} + R_0^4 \overline{\psi_{j*}(R_0^2/\bar{z})''_\eta/z^4} \quad (\eta = R_0^2/\bar{z}). \end{aligned}$$

Из (14) следует, что

$$\bar{\varphi}_1(R_0^2/z) = \overline{\varphi_1(R_0^2/\bar{z})} = (1 - \gamma)/(\kappa_1 + \gamma)(\psi_{1*}(z) + a_1 R_0^2/z),$$

откуда

$$(31) \quad \bar{\varphi}_1'(R_0^2/z) = (1 - \gamma)/(\kappa_1 + \gamma)(\psi_{1*}'(z) - a_1 R_0^2/z^2).$$

Аналогичным образом из (17) получим

$$\bar{\varphi}_2'(R_0^2/z) = (\gamma - 1)/(1 + \gamma \kappa_2)\bar{\psi}_{2*}'(z).$$

Коэффициент a_1 находится по (20), где $F(z) = (1 - \gamma) \bar{\Psi}_{j*}(R_0^2/z)$. С учетом (23) и (25) функции $\psi_{j*}'(z)$, $\bar{\Psi}_{j*}'(R_0^2/z)$, $\bar{\Psi}_{j*}''(R_0^2/z)$ имеют вид

$$(32) \quad \psi_{j*}'(z) = \begin{cases} \delta_j \beta_j [1 - (z - z_j)/((z - z_j)^2 - \gamma_j^2)^{1/2}] & (z \in D_j^-), \\ \lambda_j \beta_j & (z \in D_j^+); \end{cases}$$

$$(33) \quad \bar{\Psi}_{j*}'(R_0^2/z) = -\bar{\delta}_j \beta_j R_0^2 [1 - (R_0^2/z - \bar{z}_j)/(\overline{(R_0^2/z - z_j)^2 - \gamma_j^2})^{1/2}] z^{-2};$$

$$(34) \quad \bar{\Psi}_{j*}''(R_0^2/z) = \bar{\delta}_j \beta_j [2R_0^2 (1 - (R_0^2/z - \bar{z}_j)/(\overline{(R_0^2/z - z_j)^2 - \gamma_j^2})^{1/2}) + \\ + R_0^4 \bar{\gamma}_j^2 / (\overline{(R_0^2/z - z_j)^2 - \gamma_j^2})^{3/2} z^{-1}] z^{-3}.$$

Здесь $\delta_j = (m_j - m_j^{-1}) e^{-2i\theta_j}$; $\gamma_j^2 = 4m_j R_j^2 e^{2i\theta_j}$; $\lambda_j = 2m_j e^{-2i\theta_j}$, а в (32), (33)

$|z| < R_0$ при $j = 1$, $|z| > R_0$ при $j = 2$. В случае, когда L_j — окружность, переходя к пределу при $m_j \rightarrow 0$, из (32)–(34) имеем

$$\psi_{j*}'(z) = \begin{cases} 2\beta_j R_j^2 (z - z_j)^{-2} & (z \in D_j^-), \\ 0 & (z \in D_j^+), \end{cases}$$

$$\bar{\Psi}_{j*}'(R_0^2/z) = 2\beta_j R_0^2 R_j^2 (R_0^2 - z\bar{z}_j)^{-2}, \quad \bar{\Psi}_{j*}''(R_0^2/z) = 4\beta_j R_0^2 R_j^2 \bar{z}_j (R_0^2 - z\bar{z}_j)^{-3} \\ (j = 1, 2).$$

Искомые напряжения находятся по формулам [2]

$$\sigma_{xx} + \sigma_{yy} = 4\operatorname{Re}(\Phi_j(z)), \\ \sigma_{yy} - \sigma_{xx} + 2i\tau_{xy} = 2(\bar{z}\Phi_j(z) + \Psi_j(z)) \quad (j = 1, 2); \\ (35) \quad \Phi_j(z) = \psi_{j*}'(z) + \varphi_j'(z), \quad \Psi_j(z) = \bar{\Psi}_{j*}'(z) + \bar{\psi}_j'(z) \quad (j = 1, 2).$$

Из (28), (29) с учетом (30), (31) и (35) нетрудно получить решение для случая, когда окружность вырождается в прямую $x = 0$. Действительно, функции $\Phi_j(z)$, $\Psi_j(z)$ при замене координат $z = z' - R_0$ преобразуются по формулам [2]

$$\Phi_j(z) = \Phi(z' - R_0), \quad \Psi_j(z) = \Psi_j(z' - R_0) - R_0 \Phi_j'(z' - R_0).$$

Обозначим $\Phi_j(z) = \tilde{\Phi}_j(z')$ и $\Psi_j(z) = \tilde{\Psi}_j(z')$:

$$(36) \quad \tilde{\Phi}_j(z') = \Phi_j(z' - R_0) = l_j \bar{\psi}_{j*}'(R_0^2/(z' - R_0)) + \varphi_{j*}'(z' - R_0) + \\ + l_j(2 - j) \bar{a}_1 = -l_j \beta_j \bar{\delta}_j R_0^2 / (R_0 - z')^2 \times \\ \times [1 - (R_0^2/(z' - R_0) - (\bar{z}_j - R_0)) / (\overline{(R_0^2/(\bar{z}_j - R_0) - z' + R_0)^2 - \gamma_j^2})^{1/2}] + \\ + \varphi_{j*}'(z' - R_0) + l_j(2 - j) \bar{a}_1 \quad (j = 1, 2).$$

Здесь

$$l_1 = (1 - \gamma) / (\kappa_1 + \gamma), \quad l_2 = (\gamma - 1) / (1 + \gamma \kappa_2), \\ \varphi_{j*}'(z' - R_0) = \varphi_{j*}'(z) = \begin{cases} -\beta_j & (z \in D_j^+), \\ 0 & (z \in D_j^-) \quad (j = 1, 2). \end{cases}$$

Поскольку $F(z) = (1 - \gamma) \bar{\Psi}_{1*}(R_0^2/(z' - R_0))$, то, используя (20), (23) и (25), запишем $\lim_{R_0 \rightarrow \infty} F(z) = \tilde{F}(z') = 0$, значит, $\bar{a}_1 = 0$. Переходя к пределу в выражении (36), получим

$$\tilde{\Phi}_j(z') = \lim_{R_0 \rightarrow \infty} \Phi_j(z' - R_0) = -l_j \beta_j \bar{\delta}_j (1 - (z' - \bar{z}_j) / (\overline{(z' - z_j)^2 - \gamma_j^2})^{1/2}) + \\ + \bar{\psi}_{j*}'(z'),$$

$$\tilde{\Phi}_j'(z') = \gamma_j^{-2} l_j \beta_j \bar{\delta}_j / (\overline{(z' - z_j)^2 - \gamma_j^2})^{3/2} + \varphi_{j*}''(z') \quad (j = 1, 2).$$

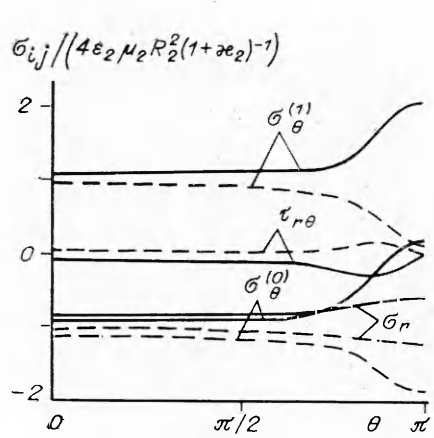


Рис. 1

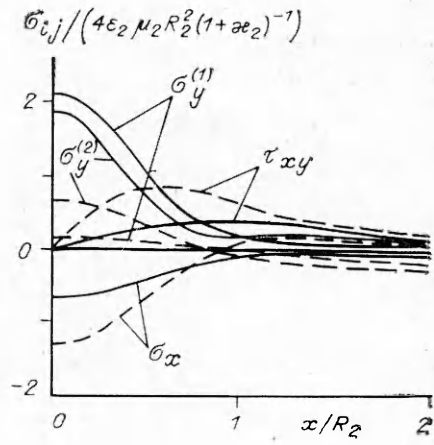


Рис. 2

Аналогичным образом

$$\begin{aligned}
 \tilde{\Psi}_j(z') &= \lim_{R_0 \rightarrow \infty} \{ \Psi_j(z' - R_0) - R_0 \Phi'_j(z' - R_0) \} = \\
 &= \lim_{R_0 \rightarrow \infty} \{ R_0^2 (z' - R_0)^{-2} \varphi'_j(z' - R_0) - R_0^2 (z' - R_0)^{-1} \varphi''_j(z' - R_0) + \\
 &+ l_{(3-j)} \psi'_{(3-j)*}(z' - R_0) + \psi'_{j*}(z' - R_0) + \psi'_{(3-j)*}(z' - R_0) - R_0 \varphi''_j(z' - R_0) \} = \\
 &= \tilde{\Phi}_j(z') + (l_{(3-j)} + 1) \tilde{\psi}'_{(3-j)}(z') + \tilde{\psi}'_{j*}(z') \quad (j = 1, 2).
 \end{aligned}$$

Области $x > 0$ и $x < 0$ отвечают областям $D_1^+ + D_1^-$ и $D_2^+ + D_2^-$. Когда L_j — окружность, находим, возвращаясь к старым обозначениям ($z \rightarrow z'$, $(\Phi, \Psi) \rightarrow (\tilde{\Phi}, \tilde{\Psi})$):

$$\begin{aligned}
 \Phi_j(z) &= b_j ((z - \bar{z}_j)^{-2} - d_j/2), \quad \Phi'_j(z) = -2b_j(z - \bar{z}_j)^{-3}, \\
 \Psi_j(z) &= b_j (\bar{z}_j(z - \bar{z}_j)^{-3} - (z - \bar{z}_j)^{-2}/2) + \\
 &+ (l_{(3-j)} + 1)c_{(3-j)}(z - \bar{z}_j)^{-2} + c_j d_j(z - \bar{z}_j)^{-2}, \\
 c_j &= 4\epsilon_j \mu_j R_0^2 / (1 + \kappa_j), \quad b_j = l_j c_j, \quad d_j = \begin{cases} 1 & (z \in D_j^+), \\ 0 & (z \in D_j^-) \end{cases} \quad (j = 1, 2).
 \end{aligned}$$

На рис. 1, 2 представлены графики напряжений в безразмерном виде в соответствии с формулой $\tilde{\sigma}_{kl}^{(j)} = \tilde{\sigma}_{kl}^{(j)} / (4\epsilon_2 \mu_2 R_2^2 (1 + \alpha \epsilon_2)^{-1})$ на внешней и внутренней границах контуров L_2 и L_0 в случае, когда контур L_2 — окружность $z - z_2 = R_2 e^{i\theta}$, контур L_0 — прямая $x = 0$, а $\epsilon_1 = 0$. Напряжения σ_{rr} , $\sigma_{\theta\theta}$ и $\tau_{r\theta}$ (см. рис. 1) рассчитываются по формулам

$$\begin{aligned}
 \sigma_{rr} + \sigma_{\theta\theta} &= 4 \operatorname{Re}(\varphi'(z)), \\
 \sigma_{\theta\theta} - \sigma_{rr} + 2i\tau_{r\theta} &= 2e^{2i\alpha} (\bar{z}\varphi''(z) + \psi'(z))
 \end{aligned}$$

($e^{2i\alpha} = z^2 r^{-2}$), а σ_{xx} , σ_{yy} , τ_{xy} (см. рис. 2) — по тем же формулам при $\alpha = 0$. Расчеты производились при $\kappa_1 = \kappa_2 = 2$; $\gamma = 3^{-1}$; 3 ; $z_2 = 1,001R_2$. На рис. 1, 2 $\gamma = 1/3$ — сплошные линии, $\gamma = 3$ — штриховые, верхние индексы $j = 0, 1, 2$ отвечают областям D_2^+, D_2^-, D_1^- .

ЛИТЕРАТУРА

- Мусхелишвили Н. И. Некоторые основные задачи математической теории упругости. — М.: Наука, 1966.
- Эшелби Д. Континуальная теория дислокаций. — М.: ИЛ, 1963.
- Вайнберг Д. В., Угодчиков А. Г. Напряжения изгиба в тонкой плите при соединениях с натягом // Прикл. механика (АН УССР). — 1958. — Т. 4, вып. 4.

4. Угодчиков А. Г. Определение напряжений при запрессовке круглых шайб в пластины, ограниченную кривой частного вида // ДАН СССР.— 1951.— Т. 77, № 2.
5. Перлин П. И., Толченова Л. Ф. Контейнеры для плоских слитков // Тр. ВНИИметмаш.— 1960.— № 1.
6. Колесов В. С., Смирнов Л. Г. Температурные напряжения в полу平面ости с произвольным включением // Мат. методы и физ.-мех. поля.— 1982.— Вып. 2.

г. Подольск

Поступила 24/V 1989 г.

УДК 539.3

A. O. Ватулян, A. Я. Кацевич

КОЛЕБАНИЯ УПРУГОГО ОРТОТРОПНОГО СЛОЯ С ПОЛОСТЬЮ

В настоящее время в связи с развитием методов вибросейсморазведки, дефектометрии чрезвычайно актуальными стали проблемы расчета волновых полей в упругой среде с полостями, трещинами, включениями. Отметим, что некоторые испытуемые материалы являются анизотропными (стали аустенитного класса, композиты, грунты), что требует соответствующей математической модели, учитывающей анизотропию механических свойств.

1. Исследуются установившиеся антиплоские волны в ортоантиплоском слое толщины h с цилиндрической полостью, направляющая которой — гладкая замкнутая кривая l_0 . Считаем, что колебания в слое возбуждаются касательной нагрузкой $p(x_1)$, приложенной к границе $x_3 = h$ слоя. Оси упругой симметрии совпадают с осями координат, из компонент вектора перемещений отлична от нуля компонента $u_2 = u(x_1, x_3) \times \exp(-i\omega t)$, а из компонент тензора напряжений — $\sigma_{12} = c_{66}u_{,1}$, $\sigma_{23} = c_{44}u_{,3}$. Краевая задача после отделения временного множителя имеет вид

$$(1.1) \quad \begin{aligned} & c_{66}u_{,11} + c_{44}u_{,33} + \rho\omega^2u = 0, \\ & x_3 = h, \quad c_{44}u_{,3} = p(x_1), \quad x_3 = 0, \quad u = 0, \\ & (x_1, x_3) \in l_0, \quad c_{66}u_{,1}n_1 + c_{44}u_{,3}n_3 = 0 \end{aligned}$$

(n_1 , n_3 — компоненты единичного вектора нормали к кривой l_0 , внешнего по отношению к области, занятой упругой средой). Замыкают постановку задачи условия излучения, при формулировке которых использован принцип предельного поглощения.

Введем в рассмотрение вспомогательную краевую задачу относительно функции $U(x_1, x_3, \xi_1, \xi_3)$

$$(1.2) \quad \begin{aligned} & c_{66}U_{,11} + c_{44}U_{,33} + \rho\omega^2U = -\delta(x_1 - \xi_1, x_3 - \xi_3), \\ & x_3 = h, \quad U_{,3} = 0, \quad x_3 = 0, \quad U = 0. \end{aligned}$$

Решение задачи (1.2) строится при помощи интегрального преобразования Фурье в рамках принципа предельного поглощения:

$$(1.3) \quad \begin{aligned} & U(x_1, x_3, \xi_1, \xi_3) = \frac{1}{4\pi c_{44}} \int_{\sigma} \exp(i\alpha_1(\xi_1 - x_1)) \lambda^{-1} \left[\exp(-\lambda|\xi_3 - x_3|) - \right. \\ & \left. - \exp(-\lambda\xi_3) \operatorname{ch} \lambda x_3 + \frac{\operatorname{sh} \lambda x_3}{\operatorname{sh} \lambda \xi_3} \langle \exp(\lambda(\xi_3 - h)) + \operatorname{sh} \lambda h \exp(-\lambda\xi_3) \rangle \right] d\alpha_1, \end{aligned}$$

где $\lambda = (\nu\alpha_1^2 - k^2)^{1/2}$; $\nu = c_{66}/c_{44}$; $k^2 = \rho\omega^2/c_{44}$; контур σ выбирается в соответствии с принципом предельного поглощения и огибает положительные полюса и точки ветвления подынтегральной функции снизу, а отрицательные — сверху [1]. Используя теорему взаимности [2], несложно получить представление поля перемещений в среде